

MARZO 1979

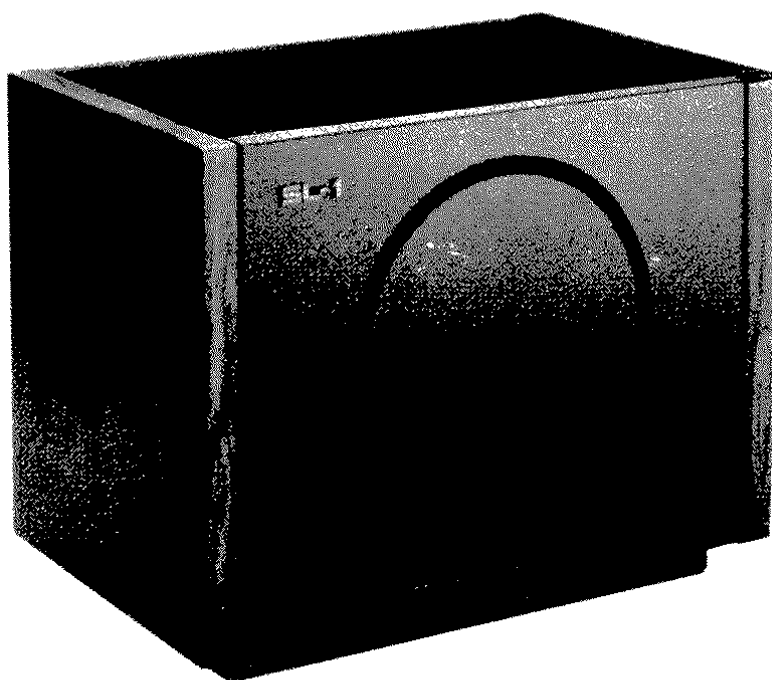
# stereoplayannuncia

## Il subwoofer Onkyo

Il sistema SL-1 della Onkyo per la riproduzione delle bassissime frequenze merita assai di più di una considerazione superficiale.

Utilizza un woofer da 20 cm  $\varnothing$  inserito fra le due cavità (v. fig. A), una posteriore, da cui dipende la risposta alle frequenze più basse, ed una anteriore, che funge da filtro meccanico passa-basso alle frequenze superiori. L'aria in essa contenuta, infatti, assorbe in maggior misura l'energia emessa dal woofer all'aumentare della frequenza, in modo tale che, nello schema elettrico equivalente (v. fig. B), è come se venisse cortocircuitata  $C_r$ . L'energia viene trasferita dal woofer all'aria della cavità anteriore, con un accoppiamento che può essere molto ben controllato; l'aria della cavità anteriore la trasferisce a sua volta ad un radiatore passivo da 38 cm  $\varnothing$ , che la irradia all'esterno. Si ottiene così un funzionamento a pistone del radiatore pressoché ideale, essendo esso *pilotato* dall'aria, la quale applica la forza motrice uniformemente su tutta la sua superficie.

Il sistema è autoamplificato tramite un finale a modulazione d'ampiezza di impul-



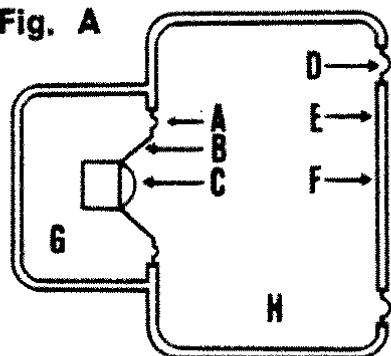
L'SL-1 Onkyo: un woofer, un radiatore passivo ed un finale in classe D.

si (classe D) da 60 watt, che per sua natura è particolarmente indicato all'amplificazione delle basse frequenze. L'SL-1 può riprodurre linearmente la gamma compresa tra i 20 Hz e i 90 Hz, ed è dotato di un regolatore di sensibilità di ingresso e di un filtro passa-basso con tre frequenze di taglio selezionabili: 60, 70 e 80 Hz.

Il prezzo in Giappone è di 150.000 Yen.

Emec - Via Baracchini, 10 - Milano - Tel. 863849.

Fig. A



- A Cedevolezza della sospensione del driver
- B Massa dell'equipaggio mobile del driver
- C Superficie dell'equipaggio mobile del driver
- D Cedevolezza della sospensione del radiatore
- E Massa del diaframma del radiatore
- F Superficie del diaframma del radiatore
- G Cedevolezza della camera posteriore
- H Cedevolezza della camera anteriore

Fig. B

